柑橘绿霉病菌木聚糖酶基因(PdXY2)功能初步研究

由书妍1, 刘红霞1, 于瑞君1, 郑丽君1, 范诗言1, 李红叶2*

(1. 大连市农业科学研究院, 大连 116036; 2. 浙江大学牛物技术研究所, 杭州 310058)

摘要 柑橘绿霉病菌(Penicillium digitatum)是引起柑橘储藏期腐烂最主要的病原之一,严重影响了柑橘产业发展。本试验克隆了柑橘绿霉病菌的木聚糖酶基因(PdXY2),对其表达进行研究,在柑橘发病过程中,PdXY2 的表达显著升高,至48 h达到最高,其表达量为对照的4倍。为进一步明确PdXY2 基因功能,构建了PdXY2 基因缺失突变株($\Delta PdXY2$), $\Delta PdXY2$ 突变株的致病性与野生型相比没有明显差异。由此我们推断,在柑橘绿霉病菌侵染柑橘的过程中PdXY2有一定的作用,但是单一缺失木聚糖酶PdXY2基因不能影响其致病性。

关键词 柑橘绿霉病菌; 木聚糖酶; 基因表达; 基因突变

中图分类号: S 436.66 文献标识码: A **DOI**: 10.3969/j.issn, 0529 - 1542.2016.06.016

Preliminary study on the function of PdXY2 in Penicillium digitatum

You Shuyan¹, Liu Hongxia¹, Yu Ruijun¹, Zheng Lijun¹, Fan Shiyan¹, Li Hongye²

- (1. Dalian Academy of Agricultural Sciences, Dalian 116036, China;
- 2. Institute of Biotechnology, Zhejiang University, Hangzhou 310058, China)

Abstract Penicillium digitatum is one of the most important pathogen causing green mold disease which impedes the development of citrus industry. In this study, we cloned a xylanase gene PdXY2 and characterized its functions via knock-out strategy. The expression of PdXY2 was up-regulated during the primary stage of infection, and reached a peak at 48 h. However, PdXY2-disrupted mutant ($\triangle PdXY2$) showed no reduction in virulence. Taken together, our results demonstrated that PdXY2 may play an important role in infection and single knock-out of PdXY2 showed no reduction in virulence.

Key words Penicillium digitatum; Xylanase; gene expression; gene disruption

植物病原菌侵入寄主时必须先破坏寄主的细胞壁,这个过程主要有两方面作用:一方面破坏寄主的天然屏障,使病原物能侵入寄主,建立侵染关系;另一方面降解的产物能够为病原物提供营养物质。在细胞壁的降解过程中,细胞壁水解酶起到了重要的作用^[1-2]。已有研究表明细胞壁水解酶对致病性至关重要,如在黄曲霉(Aspergillus flavus)中,内切多聚半乳糖醛酸酶突变株对棉铃的致病性降低^[3];在灰葡萄孢(Botrytis cinerea)中,内切多聚半乳糖醛酸酶突变株对番茄的致病性降低^[4],果胶甲酯酶突变株对多种作物的致病性均有所下降^[5];在稻瘟病菌(Magnaporthe oryzae)中,角质酶突变株对水稻和大麦的致病性下降^[6];在胶孢炭疽菌(Colletotrichum gloeosporioides)中,果胶裂解酶突变株对

牛油果的致病性下降^[7-8];紫麦角菌(Claviceps purpurea)中,多聚半乳糖醛酸酶基因突变株对黑麦的致病性下降^[9]。因此,研究细胞壁水解酶对探索病原菌的致病性有重要意义。

柑橘是我国最主要的水果之一,而储藏期柑橘腐烂病对柑橘的经济效益造成了严重的影响,通常造成的损失达到20%~30%,而其中90%以上是由柑橘绿霉病菌(P. digitatum)引起的[10-11]。在柑橘绿霉病菌中,内切多聚半乳糖醛酸酶对致病性有非常重要的作用[12]。为明确柑橘绿霉病菌中其他水解酶的作用,本试验克隆柑橘绿霉病菌的木聚糖酶基因,并对其表达及功能进行分析,以阐明其在柑橘绿霉病菌致病过程中的作用,增加对柑橘绿霉病菌致病机制的了解。

收稿日期: 2015-12-24 **修订日期:** 2016-02-24

基金项目: 国家自然科学基金(31371961);国家现代农业产业技术体系(CARS-27)

^{*} 通信作者 E-mail:hyli@zju. edu. cn

1 材料与方法

1.1 材料

柑橘绿霉病菌野生型菌株 Pd01(CBS 130525)分离于浙江^[13],保存于本实验室;根癌农杆菌 AGL-1、大肠杆菌 DH5α保存于本实验室;质粒 pTFCM含有 T-DNA 插入臂序列,其潮霉素基因由构巢曲霉强启动子 PtrpC 启动,由强终止子 TtrpC 终止,保存于本实验室;Real-time RT-PCR 采用 7300 real-time PCR 系统;本试验使用到的引物见表 1,由上海桑尼公司合成。

表 1 试验中使用的引物 Table 1 Primers for this study

引物名称	序列	酶切位点
Primer	Sequence (5' to 3')	Restriction site
name		site
PdXY2-F	GCACGGATTGAAACTGAGCC	_
PdXY2-R	TGAAACATTCCTTCCGTGCC	_
PdXY2-qF	TAAGGGAACCGTGACCAGTG	_
PdXY2-qR	GGTAGTTGTGCGAGCCAAGA	_
XY2jd-F	GCCCATCTTCAGAGTTGCT	_
XY2jd-R	GGTTGTAGTCGCCATAGTTTT	_
PdXY2A	$GG\underline{GGTACC}CGCACGGATTGAAACTGAGCC$	KpnI
PdXY2B	${\tt CC}\underline{{\tt GAGCTC}}{\tt GTAGGGAAGACATGCCACGAT}$	SacI
PdXY2C	${\bf G}\underline{\bf ACTAGT}{\bf CTGGAAATGCTTACCTCGCTGTC}$	SpeI
PdXY2D	$\tt CCG\underline{CTCGAG}CGTGAAACATTCCTTCCGTGCC$	XhoI
Actin-qF	TCCACTACTGCCGAGCGTGAAAT	_
Actin-qR	CCGCCAGACTCAAGACCAAGAAC	_

1.2 方法

1.2.1 柑橘绿霉病菌木聚糖酶 PdXY2 基因克隆

根据基因组信息设计扩增木聚糖酶基因的引物 PdXY2-F 和 PdXY2-R(表 1),以柑橘绿霉病菌野生型 Pd01 基因组 DNA 为模板扩增 PdXY2 基因的片段,PCR 产物经 1% 琼脂糖凝胶电泳后,利用 AxyPrepTM DNA Gel Extration Kit (Axygen,杭州) 回收目的条带,将目的片段连接到克隆载体 pMD18-T(TaKaRa,大连)上并送到 Invitrogen 公司进行测序。

1.2.2 柑橘绿霉病菌 PdXY2 在侵染过程中的表达分析

从市场上购买成熟温州蜜柑 (Citrus nobilis),经 0.1%次氯酸浸泡 $5\sim10$ min 后吹干待用;用无菌水洗脱 PDA 培养基上培养 7 d 的野生型菌株 Pd01 孢子,并将孢子稀释到 1.0×10^6 个/mL,取 3 μ L 孢子悬浮液接种于柑橘果实的伤口上(用针簇在果皮

上刺 $1\sim2$ mm 深的伤口),25 C 保湿培养,分别在接种后间隔 12 h 提取发病组织的总 RNA(Xygen),并反转录成 cDNA(TaKaRa),使用 SYBR Premix Ex TaqTM试剂盒(TaKaRa)进行 real-time RT-PCR,用 PdXY2-qF 与 PdXY2-qR 引物扩增木聚糖酶基因,以 γ Actin 基因(GenBank 登录号: AB030227)作为内参,Actin-qF 和 Actin-qR 引物扩增内参基因,相对表达量的计算方法参考文献[14]。

1.2.3 柑橘绿霉病菌 PdXY2 突变体构建

采用同源重组原理构建 PdXY2 基因敲除质粒,基本过程如图 1:以柑橘绿霉病菌野生型菌株Pd01 的基因组 DNA 为模板,用引物 PdXY2D(含XhoI 酶切位点)和 PdXY2C(含 SpeI 酶切位点)扩增 PdXY2 基因 3′端侧翼 0.75 kb 的序列,产物用限制性内切酶 XhoI 和 SpeI 消化后连接到质粒 pTF-CM 的 hph 的 3′端;用引物 PdXY2B(含 SacI 酶切位点)和 PdXY2A(含 KpnI 酶切位点)扩增 PdXY2基因 5′端侧翼 0.82 kb 的序列,产物用限制性内切酶 SacI 和 KpnI 消化回收后连接到质粒 pTFCM中hph 基因的 5′端。PCR 鉴定选择成功连接的单菌体,碱法小量抽提质粒,得到新的质粒 pTFCM-XY2,将质粒电击到农杆菌 AGL-1中。

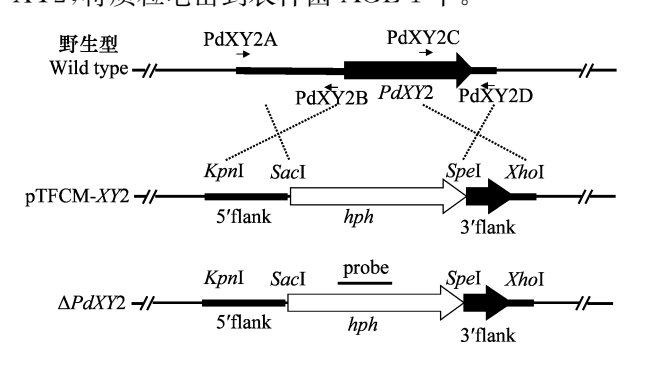


图 1 PdXY2 功能缺失突变株的构建

Fig. 1 Construction of PdXY2 knock-out mutant

1.2.4 柑橘绿霉病菌转化及转化子的分析

农杆菌转化的方法参考文献[15]。挑取含有潮霉素抗性的单菌落转入含有潮霉素的 PDB 培养基中,28℃培养 5 d 后取部分菌丝提取基因组 DNA,用引物 PdXY2jd-F 和 PdXY2jd-R 进行 PCR 鉴定。利用 Southern 杂交分析 PdXY2 基因缺失突变株中外源插入潮霉素抗性基因的拷贝数,其步骤是用限制性内切酶 $Hind \coprod$ 消化野生型 Pd01 和 $\Delta PdXY2$ 的基因组 DNA 10 μ g,在 37℃的水浴条件下酶切

24 h,将经过酶切处理后的基因组 DNA 在 1%琼脂 糖凝胶中电泳 12 h(电压 20 V),将电泳后的基因组 DNA 经毛细管法转移到尼龙膜(Millipore)上,再以 地高辛标记的潮霉素基因片段为探针,用 DIG High Primer DNA Labeling and Detection Starter Kit II (Roche)试剂盒讲行杂交,具体的操作方法详见使用 说明书。

1.2.5 ΔPdXY2 突变株菌丝生长及产孢能力

野生型 Pd01 和 $\Delta PdXY2$ 的菌碟制作方法见文 献[16],将菌碟放在 PDA 中培养 7 d 后测量菌落直 径,并用无菌水或者5%吐温洗脱孢子,将孢子稀释 后用血球计数板计数孢子量,每次试验3个重复,整 个试验重复3次。

1.2.6 ΔPdXY2 突变株致病性分析

柑橘准备方法同上,在PDA培养基上培养野生 型菌株 Pd01 和 $\Delta PdXY2$ 突变株 7 d,再用无菌水洗 脱孢子并稀释到 1.0×10⁶ 个/mL,接种方法同上, 25℃保湿培养,观察发病情况,每个菌株接种约20 ~30 个果实,整个试验重复 3 次以上。

结果与分析

2.1 PdXY2 基因的克隆

利用引物 PdXY2-F 和 PdXY2-R 扩增柑橘绿霉 病菌的基因组,得到一条 2 611 bp 的核苷酸序列,将 该序列在 NCBI 官方网站上进行比对,发现与其他 物种的木聚糖酶基因具有较高的一致性;根据转录 组数据测序该基因 cDNA 全长 651 bp,含有 1 个大 小为 58 bp 的内含子,能够编码出含有 216 个氨基 酸的多肽,在 NCBI 中登录 PdXY2 基因序列,登录 号为 JX495171。

2.2 PdXY2 蛋白分析

将柑橘绿霉病菌 PdXY2 编码的蛋白在 NCBI 进 行 BLAST,结果表明该蛋白与其他丝状真菌中水解 酶/内切木聚糖酶有较高的一致性(图 2),与 Ophiostoma pili ferum 中内切木聚糖酶(AFR33048)的一致 性为 91%,与 Penicillium camemberti 中糖苷水解酶 (CRL24571)的一致性为 90%,与 Penicillium canescens 内切木聚糖酶(ACP27610)的一致性为 81%。

P. digitatum Ophiostoma piliferum Penicillium canescens

MVSFSSLFVAACAAVTAFALPSELEKR-AITTSQQGTSNGYFYSFWTNGGGSVSYNNGAS MVSFSSLFVAACAAVTALALPSEVEKR-AITTSQQGTSNGYFYSFWTNGGGSVSYNNGAA Penicillium camemberti MVSFSSLFVAACAAVTAFALPSEVEKR-AITTSEQGTSNGYFYSFWTNGGGSVSYTNGAA ${\tt MVSFTQLFLAASTIVGAFAVPGEWNKRQTITTSQTGTNNGYYYSFWTNGGGTVDYTNGAN}$ ****. **.**.. * * *.* * ** .****. ** ***.*******.* *.***

P. digitatum Ophiostoma piliferum Penicillium camemberti Penicillium canescens

CEVSVSWSNCGSFTSGKGWATGSSRNINFSGSFKPSGNAVI.AVVGWTTSPI.VEVVIMENV GOYSVDWTNCGSFTSGKGWATGSARNINFSGSFNPSGNAYLAVYGWTTSPLVEYYIMESY GQYSVDWTNCGSFTSGKGWATGSSRNINFSGSFSPSGNAYLAVYGWTTGPLVEYYIMESY GQYSVSWQNCGDFTSGKGWSTGSARNINFSGSFNPSGNAYLAIYGWTTSPLVEYYILEDY

P. digitatum Ophiostoma piliferum Penicillium camemberti Penicillium canescens

GDYNPGRSMTFKGTVTSDGSVYD I YTHQQVNQPS I SGTATFEQYWS I RRTKRSSGTVTTA ${\tt GEYNPGSSMTFKGTVTSDGSVYDIYTHQQVDQPSISGTATFNQYWSIRRSKRSSGTVTTA}$ GEYNPGSSMTLKGTVTSDGSVYDIYTHQQVDQPSISGTATFNQYWSIRRSKRSSGTVTTA GTYNPGPSMTYKGTVTSDGATYD I YEHQQVNQPS I QGTATFNQYWS I RRSKRSSGTVTTA

P. digitatum Ophiostoma piliferum Penicillium canescens

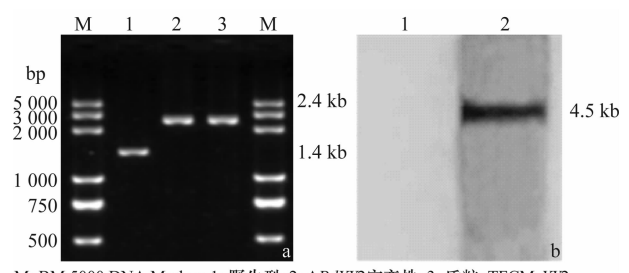
NHFKAWASHGMYLGSHNYQIVSTEGYQSSGSSDITVS NHFNAWASLGMSLGSHNYQIVSTEGYESSGSSSITVS Penicillium camemberti NHFNAWASLGMSLGSHDYQIVSTEGYESSGSSSITVS NHFNAWASHGMNLGNHNYQIVSTEGYQSSGSSSITVS

图 2 PdXY2 蛋白与其他同源蛋白比较

Fig. 2 Comparison of PdXY2 with other homologous proteins

2.3 PdXY2 重组转化子的分析

将获得的转化子进行 PCR 鉴定,结果(图 3a) 表明,在野生型 Pd01 中扩增出了一条 1.4 kb 的 条带,而在重组突变株中扩增出一条 2.4 kb 的条 带(2 kb 潮霉素抗性基因取代了 PdXY2 基因及 其启动子区 1 kb 片段)。取其中一个转化子 (ΔPdXY2A)进行 Southern 杂交鉴定,结果如图 3b 所示,在野生型中潮霉素标记的探针没有杂交 出条带,而在 $\Delta PdXY2$ 突变株中则会出现一条约 4.5 kb 的条带,结果表明获得的重组突变株只有 一条潮霉素基因序列,不存在异位插入,可以进 行后续研究。



M: BM 5000 DNA Marker; 1: 野生型; 2: Δ*PdXY*2突变株; 3: 质粒pTFCM-*XY*2 M: BM 5000 DNA Marker; 1: Wild type; 2: Δ*PdXY*2 mutant; 3: Plasmid pTFCM-*XY*2

图 3 APdXY2 突变株的 PCR 鉴定结果(a)和 Southern 鉴定结果(b)

Fig. 3 Identification of *PdXY2*-disrupted mutant by PCR (a) and Southern blot (b)

2.4 PdXY2 基因的表达分析

在接种柑橘的发病过程中,PdXY2基因的表达情况如图 4 所示,侵染初期,PdXY2基因的相对表达量呈现出一个升高趋势,在接种后 48 h达到高峰,此时的相对表达量为对照的 4 倍,随后其表达量逐渐下降,至 84 h与对照差异不大,可见在侵染过程中,PdXY2基因表现出了先升高后下降的趋势。

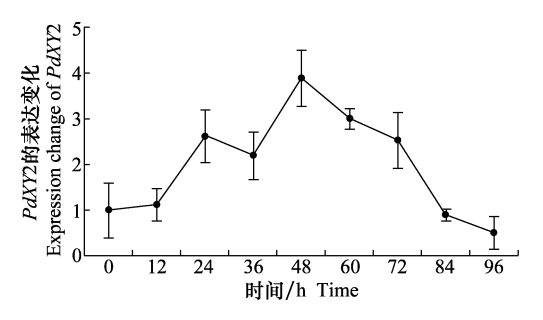


图 4 在侵染柑橘过程中 PdXY2 的表达

Fig. 4 Expression of PdXY2 during infection

2.5 ΔPdXY2 突变株生长及产孢分析

菌丝生长试验结果表明, $\Delta PdXY2$ 突变株与野生型菌株生长速度相似,生长速率均为 $1.0\sim1.2$ cm/d。产孢试验结果显示, $\Delta PdXY2$ 突变株与野生型菌株的产孢量相似,在 PDA 平板上培养 7 d 后其孢子量均可达到 1×10^8 ,因此, $\Delta PdXY2$ 突变株与野生型菌株在菌落生长和产孢方面没有明显差异。

2.6 ΔPdXY2 突变株致病性分析

致病性试验结果(图 5)显示, $\Delta PdXY2$ 突变株能够侵染柑橘果实,接种后培养 24 h, $\Delta PdXY2$ 和野生型 Pdo1 均出现了腐烂,且病斑扩展速度差异不大,由此可见, $\Delta PdXY2$ 突变株对柑橘绿霉病菌的致病性与野生型相比没有明显差异。



图 5 野生型(WT)与 ΔPdXY2 突变株 接种 84 h 后发病情况

Fig. 5 Virulence of the wild type (WT) and $\Delta PdXY2$ mutant after 84 h of incubation

3 讨论

柑橘绿霉病菌是造成柑橘采后腐烂的最主要病 原,对柑橘产业造成了严重的损失,为了增加对柑橘 绿霉病菌致病分子机制的了解,本研究对柑橘绿霉 病菌中的木聚糖酶基因(PdXY2)进行研究,表达分 析表明 PdXY2 在侵染柑橘的过程中明显升高,可 能起到一定的作用。 $\Delta PdXY2$ 突变株的致病性与 野生型相比没有明显的差异,可见单一突变 PdXY2基因对柑橘绿霉病菌的致病性影响不大,可能与其 他同源基因相关。细胞壁水解酶含有很多同源基 因,很多单一水解酶功能缺失不会引起致病性的下 降[17-18]。如在赤球丛赤壳(Nectria haematococca) 中,双突变果胶裂解酶 A 基因和果胶裂解酶 D 基因 能够降低致病性,然而单一突变其中任何一个基因 都对致病性没有影响[19];内切多聚半乳糖醛酸酶对 柑橘链格孢(Alternaria citri)引起的柑橘黑腐病致 病性有影响,但是对链格孢(A. alternata)引起的褐 斑病没有影响^[20];在稻瘟病菌(M. oryzae)中,突变 内切木聚糖酶对致病性没有影响[21];在尖孢镰刀菌 (Fusarium oxysporum)中,突变外切多聚半乳糖醛 酸酶对致病性没有影响[22];在玉米圆斑病菌(Cochliobolus carbonum)中,双突变胞外多聚半乳糖醛酸 酶可导致酶活下降,但是致病性与野生型差异不 大[23]。此外还有一些报道也同样表明单一的突变 对致病性没有影响[24-26]。

参考文献

- [1] Annis S L, Goodwin P H. Recent advances in the molecular genetics of plant cell wall-degrading enzymes produced by plant pathogenic fungi [J]. European Journal of Plant Pathology, 1997, 103(1): 1-14.
- [2] Collmer A, Keen N T. The role of pectic enzymes in plant pathogenesis [J]. Annual Review of Phytopathology, 1986,

- 24: 383 409.
- [3] Shieh M T, Brown R L, Whitehead M P, et al. Molecular genetic evidence for the involvement of a specific polygalacturonase, P2c, in the invasion and spread of *Aspergillus flavus* in cotton bolls [J]. Applied and Environmental Microbiology, 1997, 63(9); 3548 3552.
- [4] ten Have A, Mulder W, Visser J, et al. The endopolygalacturonase gene Bcpg1 is required for full virulence of Botrytis cinerea [J]. Molecular Plant-Microbe Interactions, 1998, 11(10): 1009-1016.
- [5] Valette-Collet O, Cimerman A, Reignault P, et al. Disruption of *Botrytis cinerea* pectin methylesterase gene Bcpme 1 reduces virulence on several host plants [J]. Molecular Plant-Microbe Interactions, 2003, 16(4): 360 367.
- [6] Skamnioti P, Gurr S J. Magnaporthe grisea cutinase2 mediates appressorium differentiation and host penetration and is required for full virulence [J]. The Plant Cell, 2007, 19(8): 2674 2689.
- [7] Yakoby N, Beno-Moualem D, Keen N T, et al. Colletotrichum gloeosporioides pelB is an important virulence factor in avocado fruit-fungus interaction [J]. Molecular Plant-Microbe Interactions, 2001, 14(8): 988 - 995.
- [8] Yakoby N, Freeman S, Dinoor A, et al. Expression of pectate lyase from *Colletotrichum* gloeosporioides in *C. magna* promotes pathogenicity [J]. Molecular Plant-Microbe Interactions, 2000, 13(8): 887-891.
- [9] Oeser B, Heidrich P M, Muller U, et al. Polygalacturonase is a pathogenicity factor in the Clavice ps purpurea/rye interaction [J]. Fungal Genetics and Biology, 2002, 36(3): 176 – 186.
- [10] Kanetis L, Förster H, Adaskaveg J E. Comparative efficacy of the new postharvest fungicides azoxystrobin, fludioxonil, and pyrimethanil for managing citrus green mold [J]. Plant Disease, 2007, 91(11): 1502-1511.
- [11] Macarisin D, Cohen L, Eick A, et al. *Penicillium digitatum* suppresses production of hydrogen peroxide in host tissue during infection of citrus fruit [J]. Phytopathology, 2007, 97 (11): 1491 1500.
- [12] Zhang Tianyuan, Sun Xuepeng, Xu Qian, et al. The pH signaling transcription factor PacC is required for full virulence in *Penicillium digitatum* [J]. Applied Microbiology and Biotechnology, 2013, 97(20): 9087 9098.
- [13] Zhu Jinwen, Xie Qingyun, Li Hongye. Occurrence of imazalilresistant biotype of *Penicillium digitatum* in China and the resistant molecular mechanism [J]. Journal of Zhejiang University Science A, 2006,7(S2): 362-365.
- [14] Pfaffl M W, Horgan G W, Dempfle L. Relative expression software tool (REST (c)) for group-wise comparison and sta-

- tistical analysis of relative expression results in real-time PCR [J]. Nucleic Acids Research, 2002, 30(9): e36.
- [15] Wang Jiye, Li Hongye. Agrobacterium tumefaciens-mediated genetic transformation of the phytopathogenic fungus *Penicil-lium digitatum* [J]. Journal of Zhejiang University Science B, 2008, 9(10): 823 - 828.
- [16] 张志芳, 吴可嘉, 李红叶. 浙江省柑橘绿霉病菌对嘧菌酯的敏感性研究[J]. 农药学学报, 2008, 10(3): 375-378.
- [17] Walton J D. Deconstructing the Cell-Wall [J]. Plant Physiology, 1994, 104(4): 1113 1118.
- [18] Hamer J E, Holden D W. Linking approaches in the study of fungal pathogenesis: A commentary [J]. Fungal Genetics and Biology, 1997, 21(1): 11-16.
- [19] Rogers L M, Kim Y K, Guo Wenjin, et al. Requirement for either a host-or pectin-induced pectate lyase for infection of *Pi-sum sativum* by *Nectria haematococca* [J]. Proceedings of the National Academy of Sciences of the United States of America, 2000, 97(17): 9813 – 9818.
- [20] Isshiki A, Akimitsu K, Yamamoto M, et al. Endopolygalacturonase is essential for citrus black rot caused by Alternaria citri but not brown spot caused by Alternaria alternata [J]. Molecular Plant-Microbe Interactions, 2001, 14(6): 749 757.
- [21] Wu Shengcheng, Ham K S, Darvill A G, et al. Deletion of two endo-β-1,4-xylanase genes reveals additional isozymes secreted by the rice blast fungus[J]. Molecular Plant-Microbe Interactions, 1997, 10(6): 700-708.
- [22] García-Maceira F I, Di Pietro A, Roncero M I. Cloning and disruption of pgx4 encoding an in planta expressed exopolygalacturonase from Fusarium oxysporum [J]. Molecular plant-Microbe Interactions, 2000, 13(4): 359-365.
- [23] Scott-Craig J S, Cheng Yiqiang, Cervone F, et al. Targeted mutants of *Cochliobolus carbonum* lacking the two major extracellular polygalacturonases [J]. Applied and Environmental Microbiology, 1998, 64(4): 1497 1503.
- [24] Wu Shengcheng, Kauffmann S, Darvill A G, et al. Purification, cloning and characterization of two xylanases from *Mag-naporthe grisea*, the rice blast fungus [J]. Molecular Plant-Microbe Interactions, 1995, 8(4); 506 - 514.
- [25] Wu Shengcheng, Halley J E, Luttig C, et al. Identification of an endo-β-1,4-D-xylanase from Magnaporthe grisea by gene knockout analysis, purification, and heterologous expression [J]. Applied and environmental microbiology, 2006, 72(2): 986 – 993.
- [26] Mori T, Jung H Y, Maejima K, et al. Magnaporthe oryzae endopolygalacturonase homolog correlates with density-dependent conidial germination [J]. FEMS Microbiology Letters, 2008, 280(2): 182 - 188.

(责任编辑:田 喆)